

第九章：离散傅里叶变换的计算

◆ 9.1 离散傅里叶变换的高效计算

◆ 9.2 Goertzel算法

◆ 9.3 按时间抽取的FFT算法

◆ 9.4 按频率抽取的FFT算法

◆ 9.5 实现问题考虑

◆ 9.6 用卷积实现DFT

◆ 9.7 有限寄存器长度的影响

9.3.1 同址计算

◆ DFT计算中的数据存储

DFT实现流图同时给出

- 1) DFT实现计算方法
- 2) DFT的初始数据和中间结果的存储方法

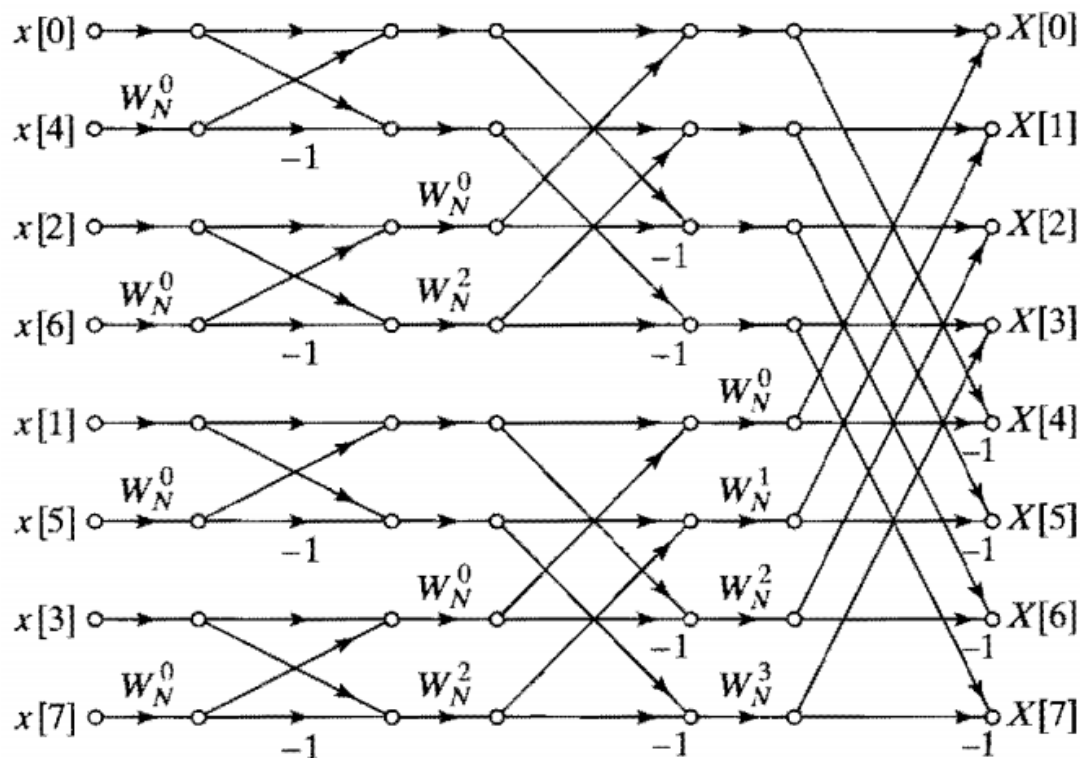
初始数据和中间结果的两种存储方法

① 直接存储

- 需采用2列存储寄存器
- 一列存储待计算数据，另一列存储计算结果

② 同址存储

- 仅需一列存储寄存器，同时完成待计算数据和计算结果的存储



9.3.1 同址计算

◆ 同址存储与同址计算

令第 m 级计算的输入和输出序列分别为 $X_{m-1}[l]$ 和 $X_m[l]$ ，其中

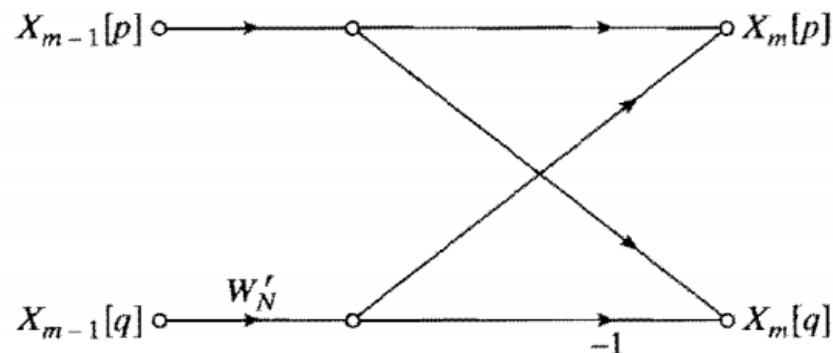
$$l = 0, 1, \dots, N-1; \quad m = 1, 2, \dots, v$$

第1级计算的输入为DFT输入样本序列，记为 $X_0[l]$

因此，第 m 级蝶形计算可表示为

$$X_m[p] = X_{m-1}[p] + W_N^r X_{m-1}[q]$$

$$X_m[q] = X_{m-1}[p] - W_N^r X_{m-1}[q]$$



其中 p, q, r 随级数 m 的不同而改变

对于每个蝶形计算，要计算第 m 列的 p 和 q 位置上的节点值，只需要第 $m-1$ 列在 p 和 q 位置上的节点（输出）值

若将 $X_m[p]$ 和 $X_m[q]$ 分别存放在原存储 $X_{m-1}[p]$ 和 $X_{m-1}[q]$ 的相同地址的寄存器中（同址存储），则DFT计算只需一列 N 个复数寄存器

9.3.1 同址计算

◆ 同址计算中序列的存储与读取

为实现同址计算，**输入序列**不能按原来的先后顺序**储存或读取**

例：N=8的时间抽取DFT，输入序列**存储**和**读取**顺序（位序）

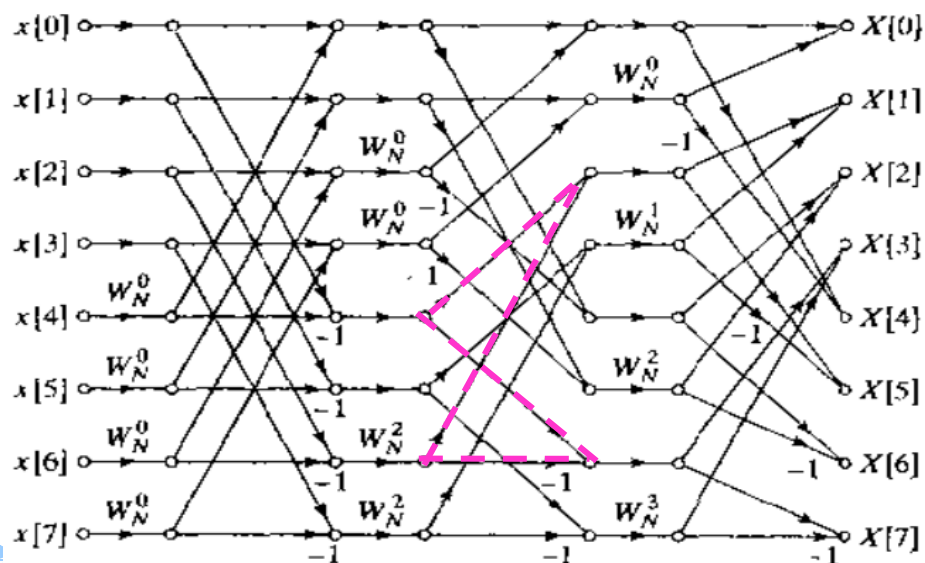
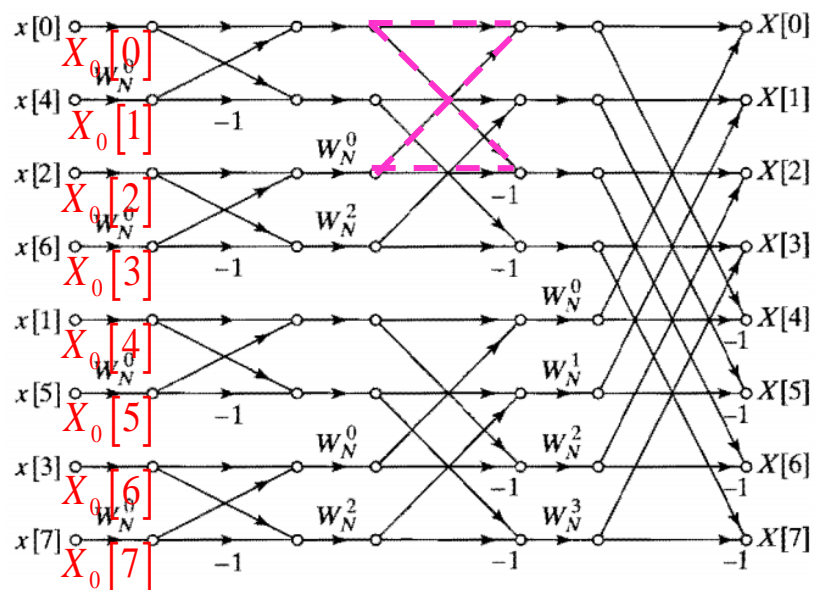
$$X_0[0] = x[0] \quad X_0[4] = x[1]$$

$$X_0[1] = x[4] \quad X_0[5] = x[5]$$

$$X_0[2] = x[2] \quad X_0[6] = x[3]$$

$$X_0[3] = x[6] \quad X_0[7] = x[7]$$

为实现同址计算，输入序列的**存储或读取**顺序必须使得每个蝶形计算的**输入和输出端**保持**水平位置**（**存储位置相同**）。



9.3.1 同址计算

◆ 倒位序（表示）

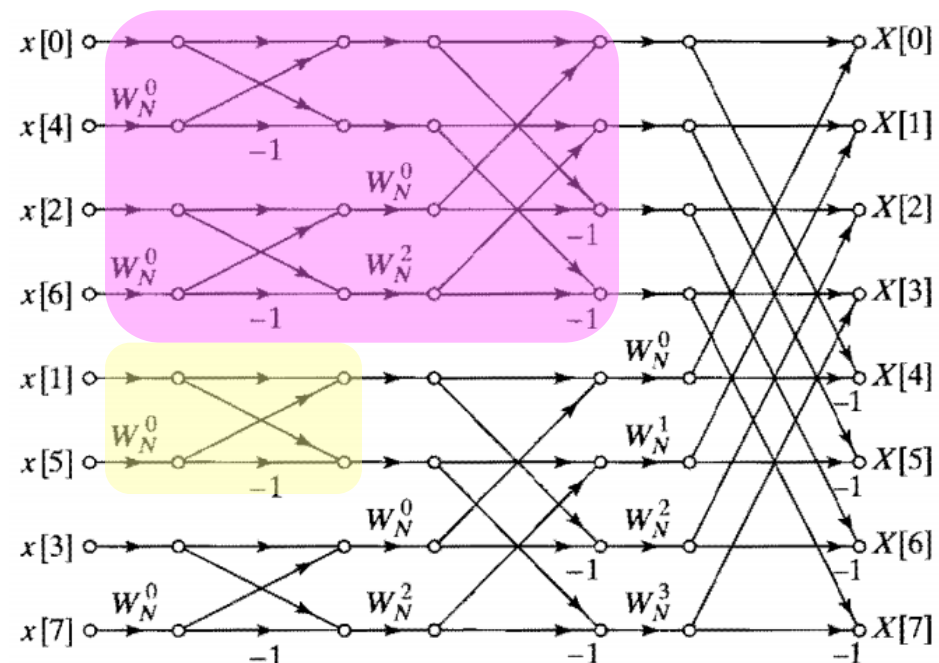
$N=8$ 的DFT（时间抽取FFT）输入序列的标号（**存储**和**读取**位序）采用**二进制码**可表示为

$$X_0[000] = x[000] \quad X_0[100] = x[001]$$

$$X_0[001] = x[100] \quad X_0[101] = x[101]$$

$$X_0[010] = x[010] \quad X_0[110] = x[011]$$

$$X_0[011] = x[110] \quad X_0[111] = x[111]$$



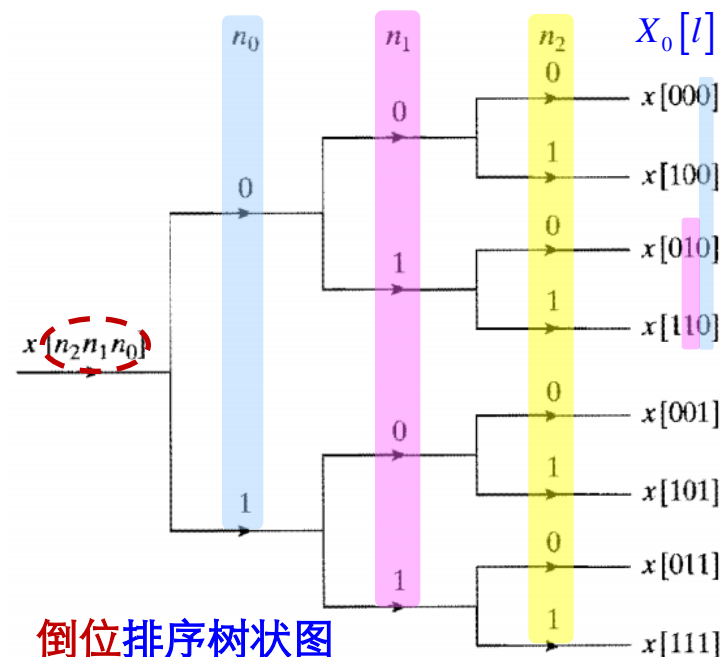
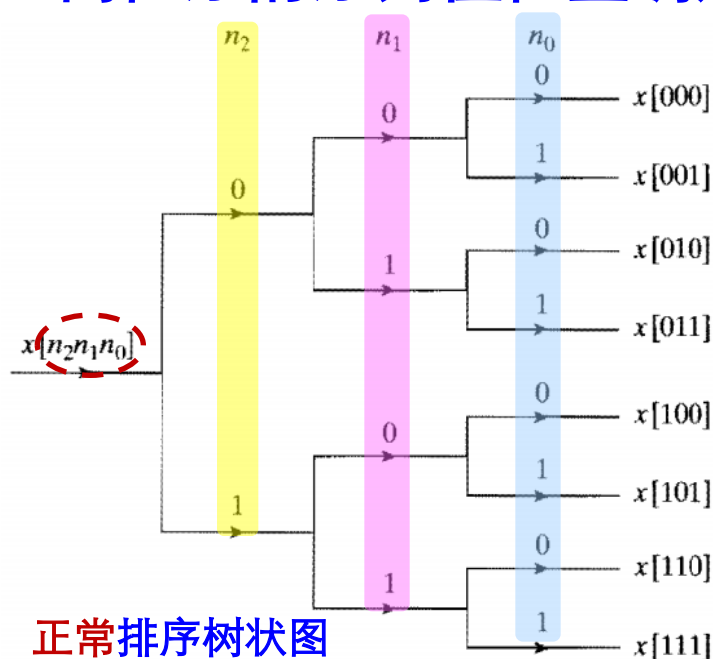
若 (n_2, n_1, n_0) 为输入序列 $x[n]$ 标号的**二进制表示**，则序列值 $x[n_2, n_1, n_0]$ 存放的序列值位置为 $X_0[n_0, n_1, n_2]$ ，即按**标号位序颠倒放置**。

序列 $x[n]$ 之所以要倒位排序是由于DFT的计算要**逐次分解为较短的DFT计算**以得到蝶形实现结构所致，即每次分解**需做奇偶排序**。



9.3.1 同址计算

◆ 倒位序的序列值位置确定



通过从低位到高位依次检查序列 $x[n]$ 的序号编码位，可确定序列值的放置位置（获取相应位置的序列值）。

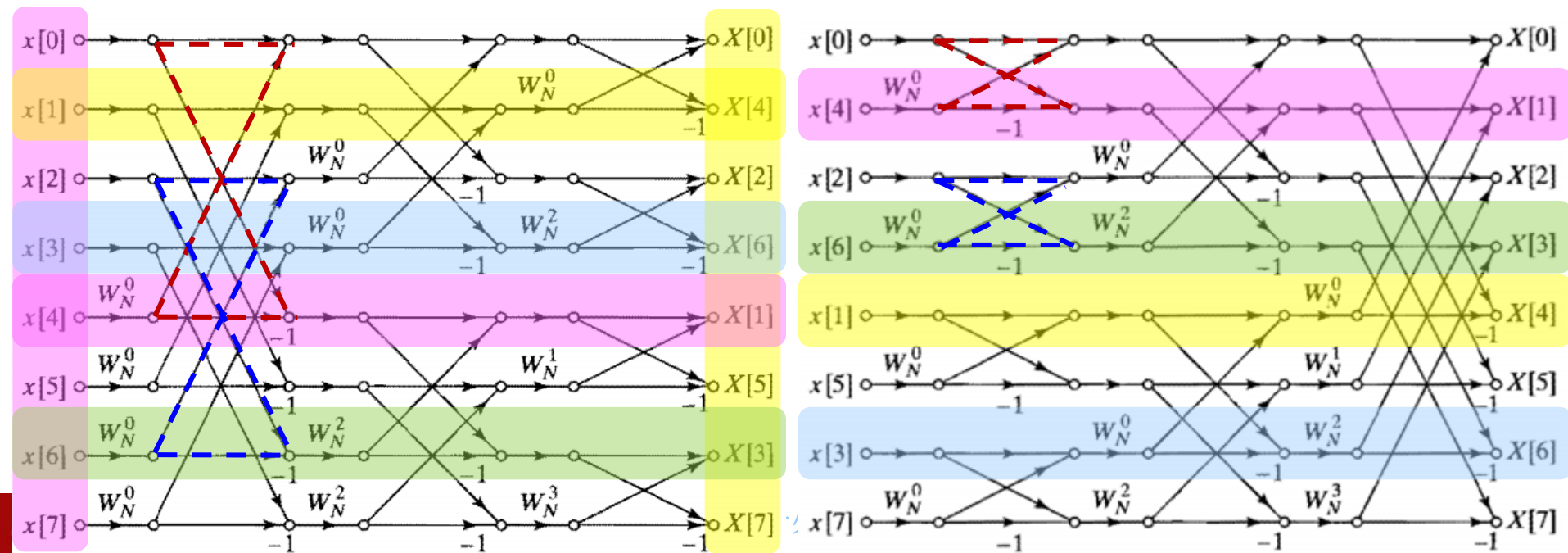
例：若第 $[n_0]$ 位为0，则 $x[n_2 n_1 0]$ 位于存储数列 $X_0[l]$ 的上半部分中；若第 $[n_1]$ 位再为1，则 $x[n_2 1 0]$ 位于 $X_0[l]$ 的上半数列的下半子数列中；以此类推，重复上述过程，直到第最高位确定对应的数列位置为止。

9.3.2 其它形式

按**输入序列倒位序**流图中出现节点的**顺序**存储每级计算结果，尽管合理，但**不是实现有效DFT计算所必须的**。

若把**节点**与一系列复数**寄存器的标号**关联，只有当（只要）**重新排列节点**使得**每个蝶形运算的输入节点和输出节点呈水平相邻**时才（就）可得对应**同址运算**的流图。

下图中，**输入序列是正常（顺）位序**，而**DFT输出序列是倒位序**。



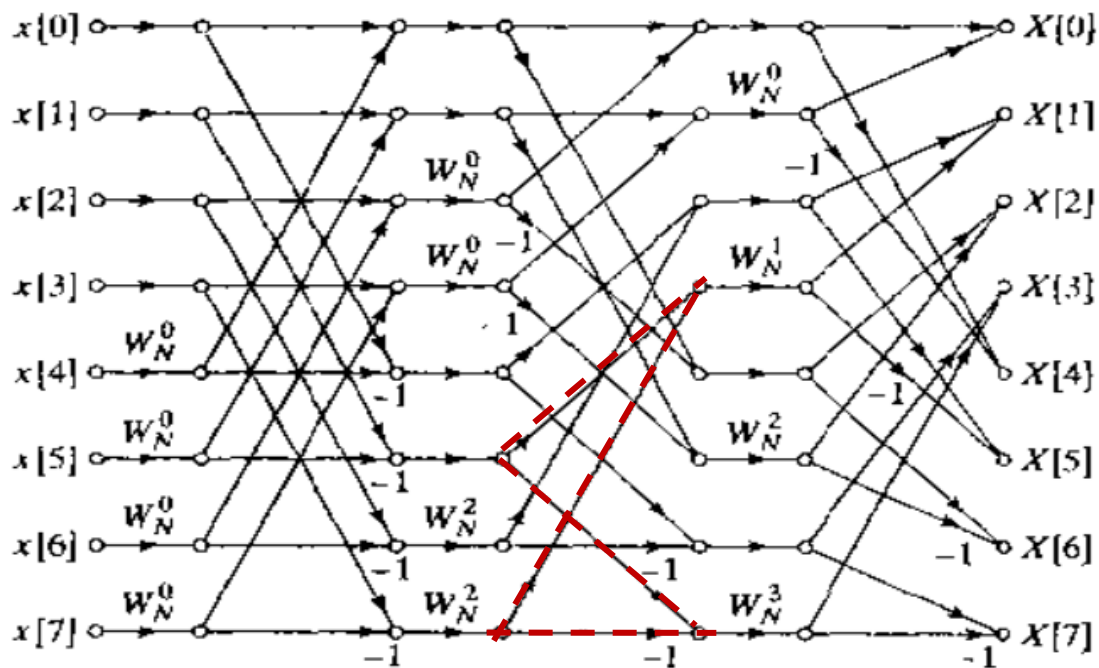
9.3.2 其它形式

◆ 对于同一个系统函数，存在多种可能的排序

下图为输入和输出序列**都按正常（顺）位序**排列的DFT流图

由于蝶形结构在第一级之后不能继续下去，
无法实现同址计算。

DFT计算需**2列**长度为 **N** 的复数**寄存器**



9.3.2 其它形式

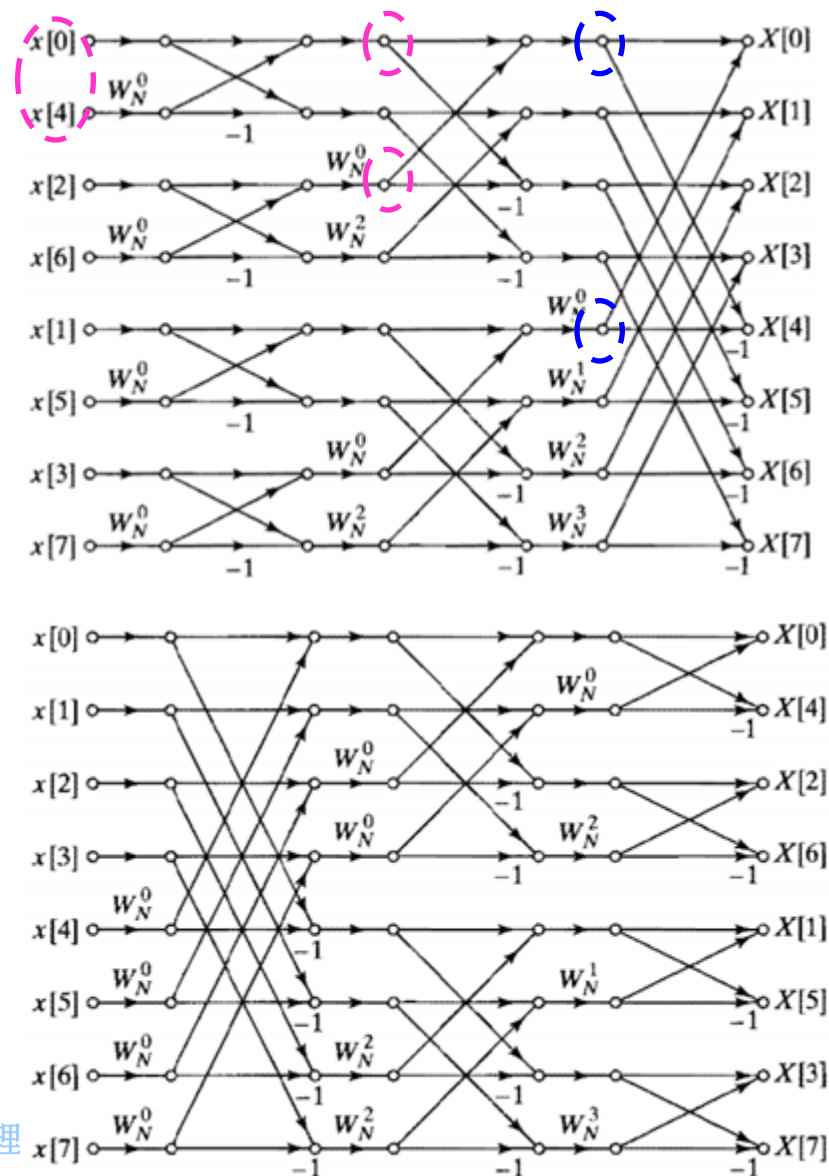
右图所示DFT实现流图，不管**输入序列**是否正常顺序排列，均**不能按顺序读取中间各列**的数。

例如：右上图中

- 计算第一列时，每个蝶形计算的**两个输入存放在相邻存储位置上**
- 计算第二列时，蝶形计算的**两个输入端间隔2个存储位置**；
- 计算第三列时，蝶形计算的**两个输入端间隔4个存储位置**；
- 以此类推，最后级的两个输入端**间隔 $N/2$ 个存储位置**；

除第一列外，均**不能按顺序**读取

因此，中间结果必须**存放在随机存储器**中。



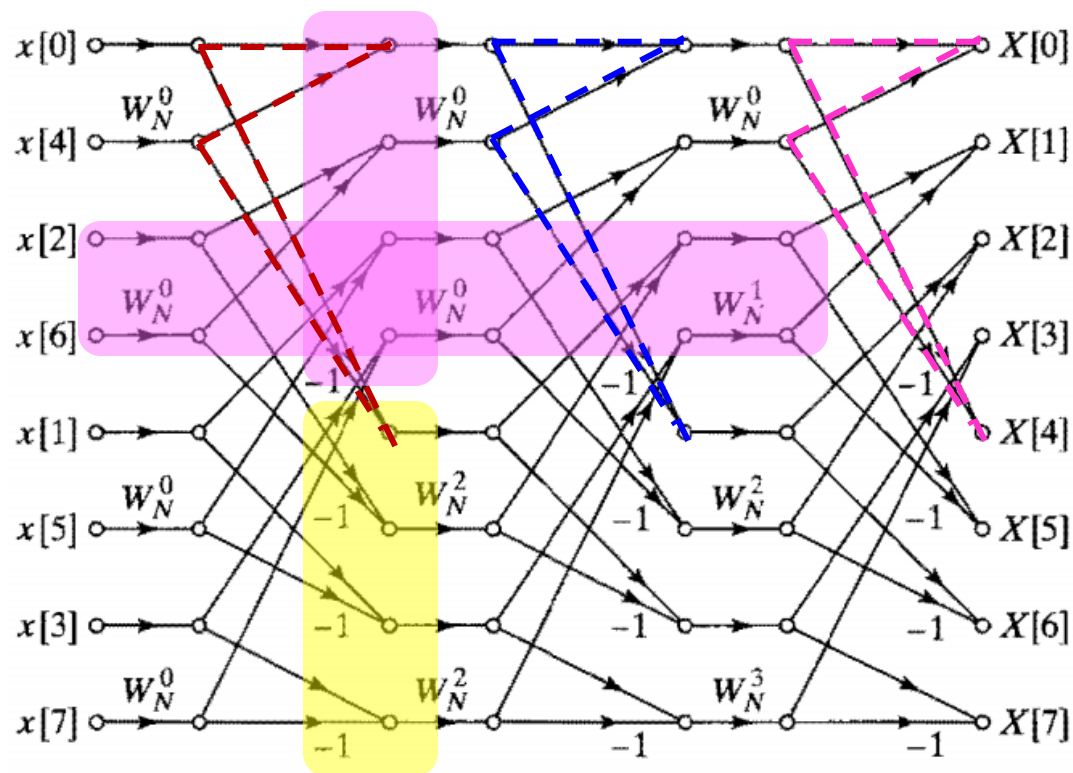
9.3.2 其它形式

◆ 每一级均有相同流图形状的DFT实现形式

尽管不能实现同址计算，
但具有重要特点：

- 对每一级计算采用相同的流图形状
- 各级之间只有支路的传输比(W_N 的幂值 k)不同

该结构使得每一级计算的数据存取可按顺序进行。



- 每一级各蝶形计算的**两个输入端的位置相邻**，以便**顺序取数**
- 计算输出的**偶和奇序号序列分别按顺序排列**，以便**顺序存数**

该结构特别适合于**无随机存储器**或由于DFT点数极其大（如上亿点DFT）使得**所需寄存器无法实现**的应用情况。

第九章：离散傅里叶变换的计算

◆ 9.1 离散傅里叶变换的高效计算

◆ 9.2 Goertzel算法

◆ 9.3 按时间抽取的FFT算法

◆ 9.4 按频率抽取的FFT算法

◆ 9.5 实现问题考虑

◆ 9.6 用卷积实现DFT

◆ 9.7 有限寄存器长度的影响

9.4 按频率抽取FFT算法

◆ 按频率抽取的DFT分解

考虑长度 N 为2的整数幂的序列 $x[n]$ 的 N 点DFT，分别计算DFT偶序号和奇序号频率样值。

因为 $x[n]$ 的 N 点DFT可表示为

$$X[k] = \sum_{n=0}^{N-1} x[n] W_N^{kn}, \quad k = 0, 1, \dots, N-1$$

其中偶数序号频率样值为

$$X[2r] = \sum_{n=0}^{N-1} x[n] W_N^{2rn}, \quad r = 0, 1, \dots, N/2-1$$

上式可表示为

$$\begin{aligned} X[2r] &= \sum_{n=0}^{(N/2)-1} x[n] W_N^{2rn} + \sum_{n=N/2}^{N-1} x[n] W_N^{2rn} \\ &= \sum_{n=0}^{(N/2)-1} x[n] W_N^{2rn} + \sum_{n=0}^{(N/2)-1} x[n + (N/2)] W_N^{2r[n + (N/2)]} \end{aligned}$$

9.4 按频率抽取FFT算法

◆ 按频率抽取的DFT分解 (续1)

$$X[2r] = \sum_{n=0}^{(N/2)-1} x[n] W_N^{2rn} + \sum_{n=0}^{(N/2)-1} x[n+(N/2)] W_N^{2r[n+(N/2)]}$$

由于 W_N^{2rn} 的周期性, 有 $W_N^{2r[n+(N/2)]} = W_N^{2rn} W_N^{rN} = W_N^{2rn}$

并且有 $W_N^2 = W_{N/2}$, 而 $W_N^{2rn} = W_{N/2}^{rn}$

因此 $x[n]$ 的 N 点 DFT 的偶数序号频率样值可表示为

$$X[2r] = \sum_{n=0}^{(N/2)-1} (x[n] + x[n+(N/2)]) W_{N/2}^{rn}, \quad r = 0, 1, \dots, N/2 - 1$$

序列 $x[n]$ 的 N 点 DFT 的偶数频率样值为 $x[n]$ 的前一半序列加上后一半序列得到的和序列的 $N/2$ 点 DFT。

9.4 按频率抽取FFT算法

◆ 按频率抽取的DFT分解 (续2)

对于DFT的奇数序号频率样点

$$X[2r+1] = \sum_{n=0}^{N-1} x[n] W_N^{(2r+1)n}, \quad r = 0, 1, \dots, N/2-1$$

上式可表示为

$$\begin{aligned} X[2r+1] &= \sum_{n=0}^{(N/2)-1} x[n] W_N^{n(2r+1)} + \sum_{n=N/2}^{N-1} x[n] W_N^{n(2r+1)} \\ &= \sum_{n=0}^{(N/2)-1} x[n] W_N^{n(2r+1)} + \sum_{n=0}^{(N/2)-1} x[n+(N/2)] W_N^{[n+(N/2)](2r+1)} \\ &= \sum_{n=0}^{(N/2)-1} x[n] W_N^{n(2r+1)} - \sum_{n=0}^{(N/2)-1} x[n+(N/2)] W_N^{n(2r+1)} \end{aligned}$$

$$\begin{aligned} &W_N^{N/2(2r+1)} \\ &= W_N^{Nr} W_N^{N/2} \\ &= -1 \end{aligned}$$

利用 $W_N^2 = W_{N/2}$ ，即有 $W_N^{n(2r+1)} = W_N^n W_{N/2}^{nr}$ ，则

$$X[2r+1] = \sum_{n=0}^{(N/2)-1} \left\{ (x[n] - x[n+(N/2)]) W_N^n \right\} W_{N/2}^{nr}, \quad r = 0, 1, \dots, N/2-1$$

序列 $x[n]$ 的 N 点 DFT 的奇数频率样值为 $x[n]$ 的前一半减去后一半得到的差序列乘以系数 W_N^n 后的 $N/2$ 点 DFT。



9.4 按频率抽取FFT算法

◆ 按频率抽取的DFT分解（续3）

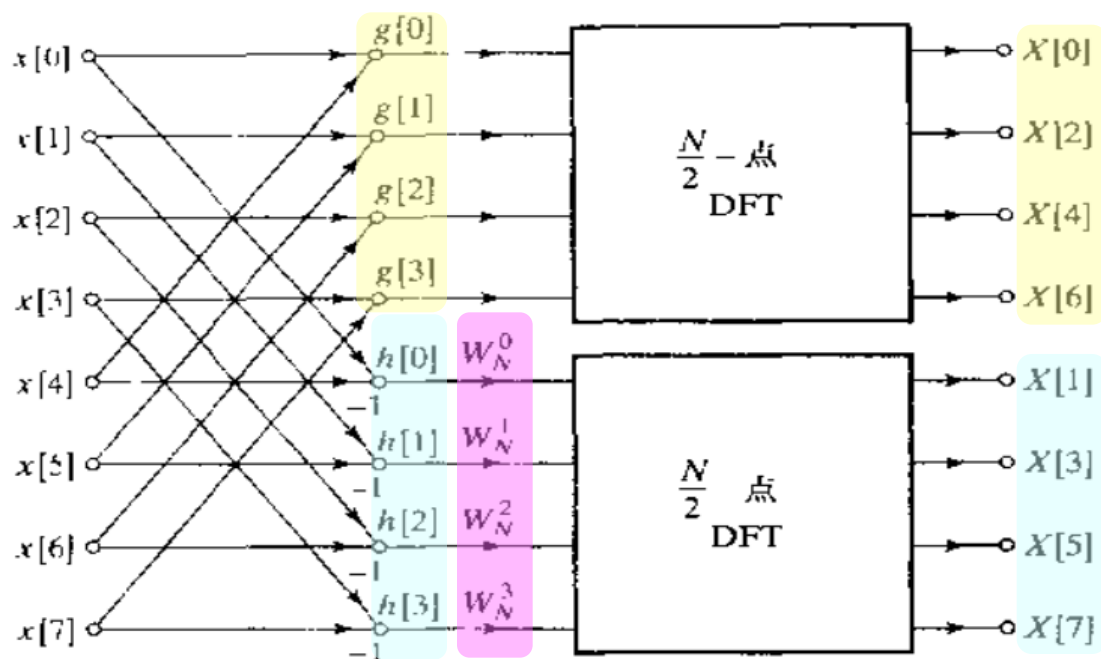
$$g[n] = x[n] + x[n + N/2], \quad h[n] = x[n] - x[n + N/2], \quad n = 0, 1, \dots, N/2 - 1$$

则按频率抽取DFT计算方法如下：

- 1) 首先形成序列 $g[n]$ 和 $h[n]$ ，并计算 $h[n]W_N^n$ ；
- 2) 然后分别计算 $g[n]$ 和 $h[n]W_N^n$ 的 $N/2$ 点DFT，获得偶数和奇数序号输出样本。

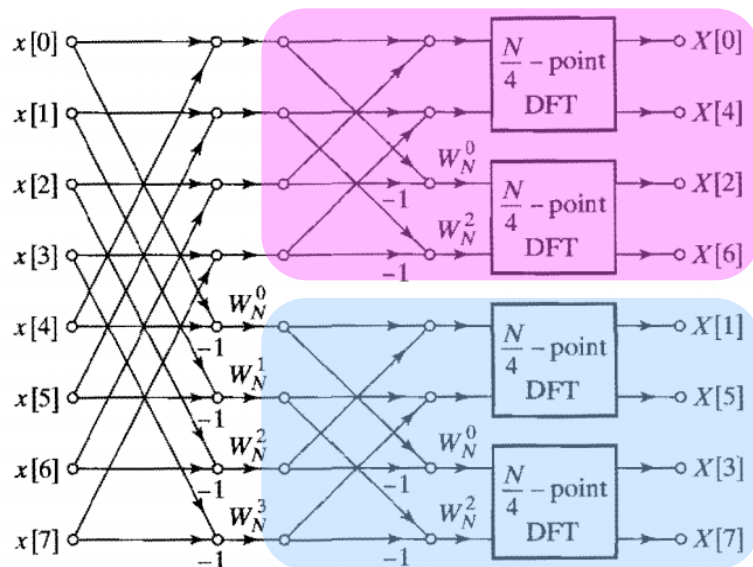
右图为一个 N 点DFT分解为两个 $(N/2)$ 点DFT计算的按频率抽取DFT实现流程图。（系数仅与差序列相乘）

其中 $(N/2)$ 点DFT可按频率抽取法继续分解为两个 $(N/4)$ 点的DFT来实现。

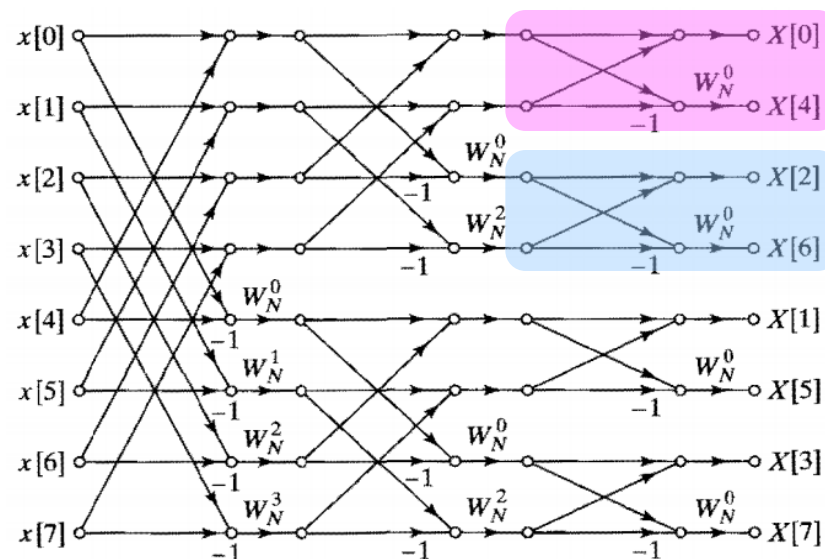


9.4 按频率抽取FFT算法

◆ 例：8点DFT分解的按频率抽取流图

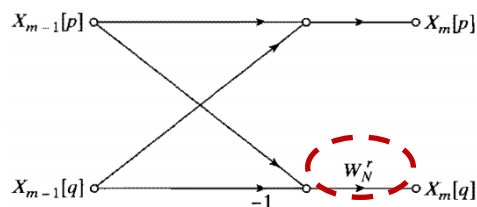


分解为4个2点DFT计算的按频率抽取流图



按频率抽取8点DFT完整流图

其中按频率抽取2点DFT流图为



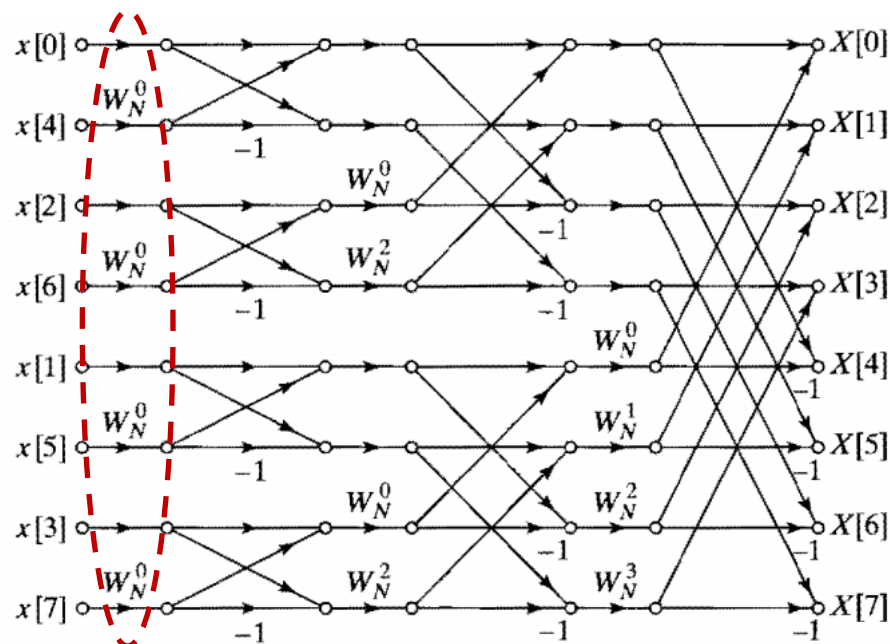
一般对于 $N=2^v$ 的情况，按频率抽取DFT计算需：

- ◆ $(N/2) \log_2 N$ 次复乘
- ◆ $N \log_2 N$ 次复加

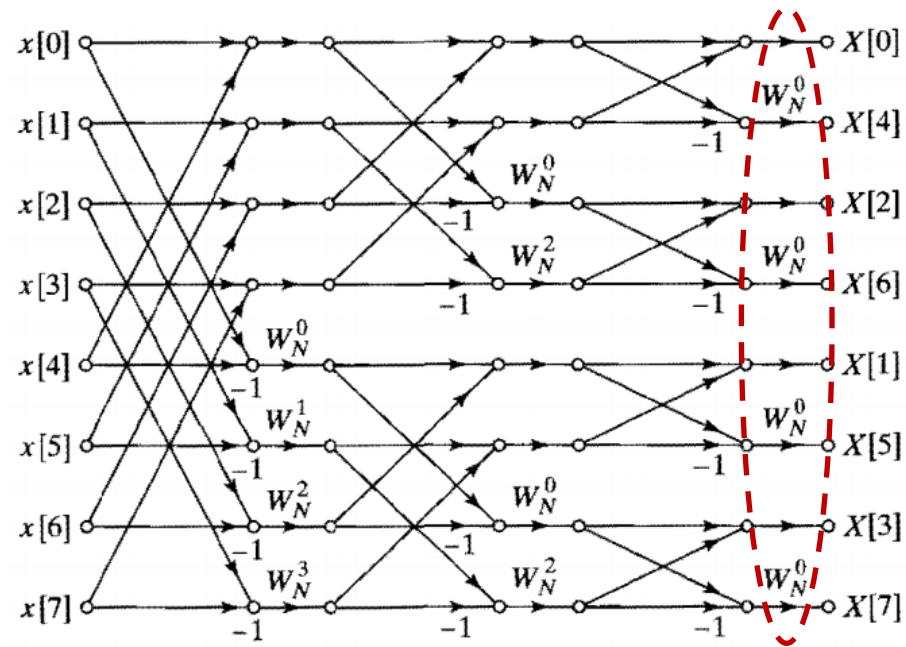
按频率抽取DFT算法与按时间抽取DFT算法具有相同的计算量

9.4.1 同址计算

◆ 按频率抽取的FFT计算结构



按时间抽取8点DFT完整流图



按频率抽取8点DFT完整流图

按频率抽取DFT算法流图的基本计算仍为蝶形计算，因此也是一种（也可以支持）同址运算。

9.4.2 其它形式

◆ 按频率抽取的DFT与按时间抽取DFT之间的关系

对按**时间抽取**DFT算法流图进行**转置**即可获得相应的按**频率抽取**DFT计算方法

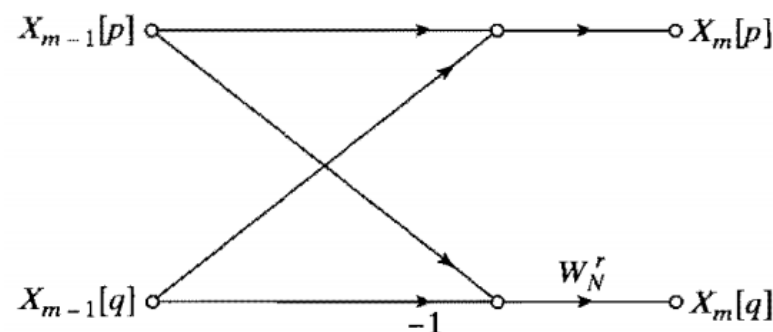
令第 m 级计算的**输出序列**为 $X_m[l]$ ，其中 $l = 0, 1, \dots, N-1$ ，
 $m = 1, 2, \dots, v$

则按频率抽取DFT算法第 m 级蝶形计算可表示为

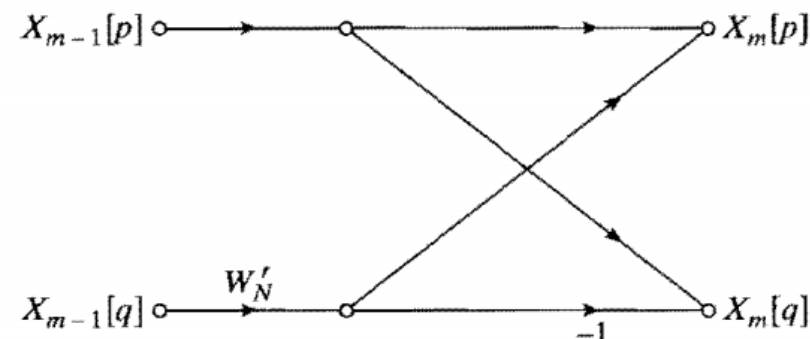
$$X_m[p] = X_{m-1}[p] + X_{m-1}[q],$$

$$X_m[q] = (X_{m-1}[p] - X_{m-1}[q])W_N^r$$

按频率抽取DFT蝶形计算流图可通过按时间抽取DFT蝶形算法流图的**转置**获得。



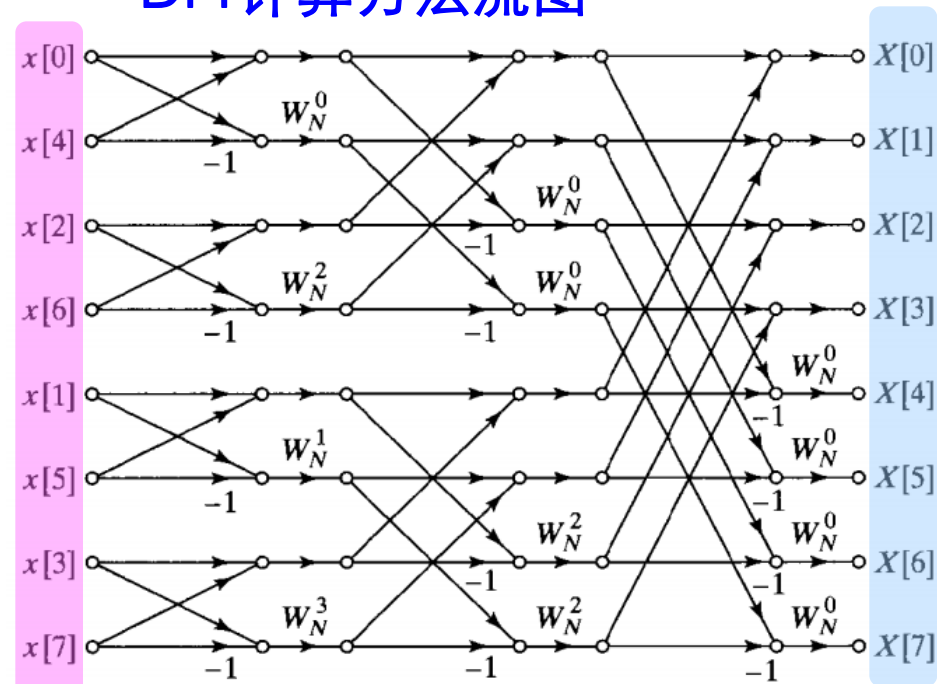
按频率抽取DFT蝶形计算流图



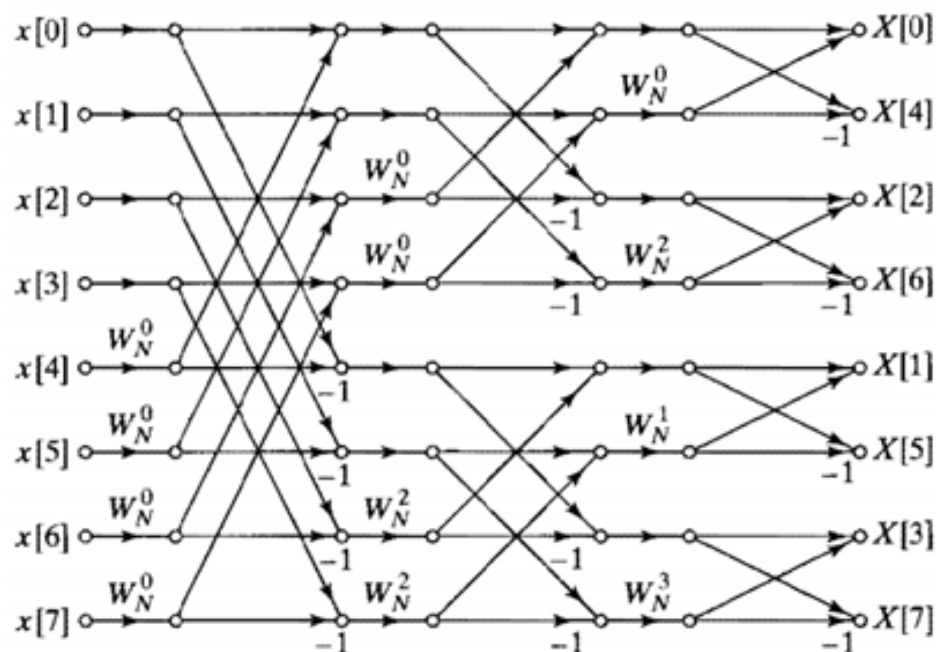
按时间抽取DFT蝶形计算流图

9.4.2 其它形式

◆ 示例：由按时间抽取DFT算法流图进行转置获得按频率抽取DFT计算方法流图



按频率抽取DFT计算方法流图
(输入倒位序/输出顺位序)

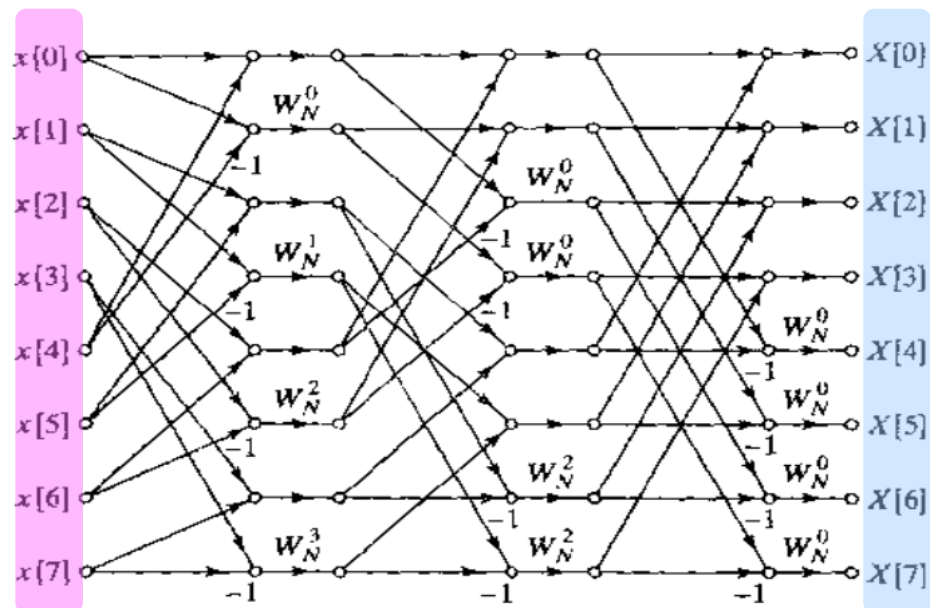


按时间抽取DFT计算方法流图
(输入顺位序/输出倒位序)

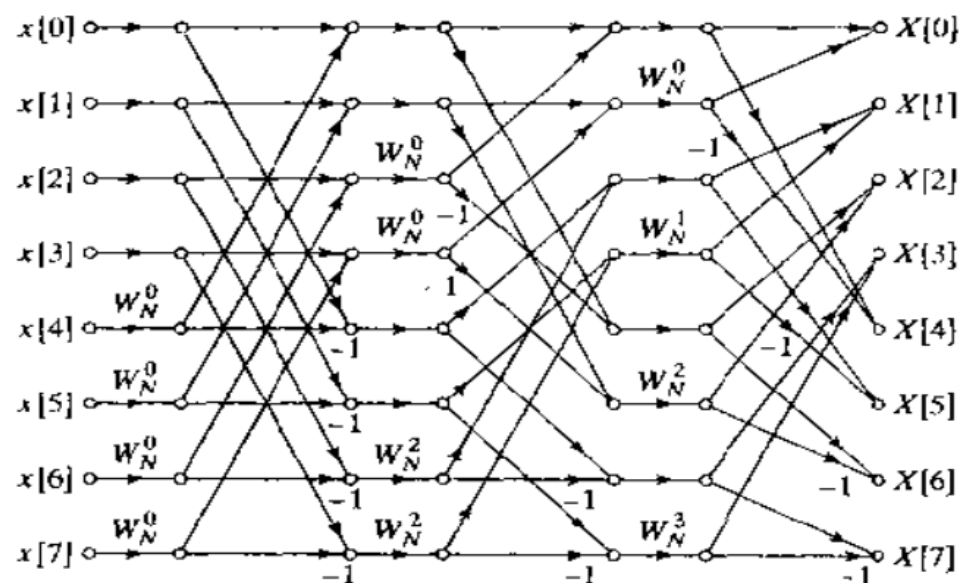
尽管转置后总体输出特性与原流图相同，但由于FFT计算有多个输入和输出端（无输入输出一一对应关系），所以转置定理不适用于FFT算法流图。

9.4.2 其它形式

◆ 示例：由按时间抽取DFT算法流图进行转置获得按频率抽取DFT计算方法流图（续2）



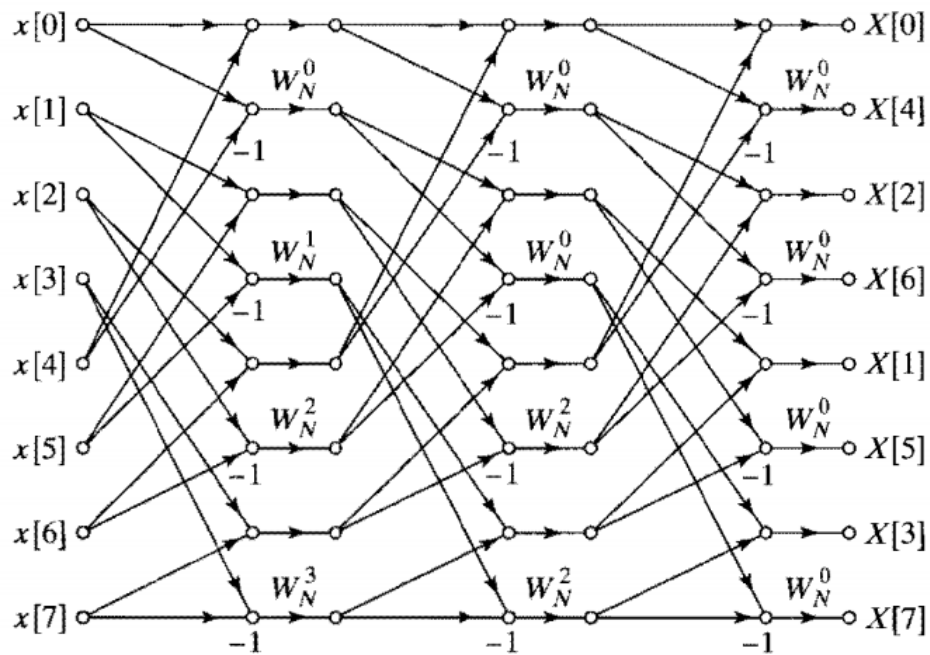
按频率抽取DFT计算方法流图
(输入/输出顺位序)



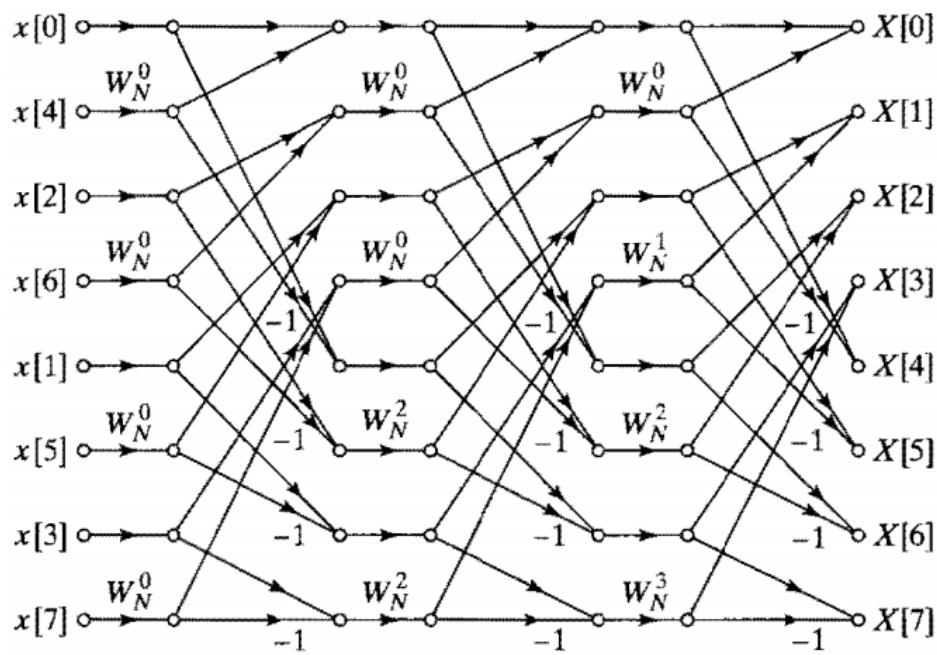
按时间抽取DFT计算方法流图
(输入/输出顺位序)

9.4.2 其它形式

◆ 示例：由按时间抽取DFT算法流图进行转置获得按频率抽取DFT计算方法流图（续3）



按频率抽取DFT计算方法流图
(输入顺位序/输出倒位序)



按时间抽取DFT计算方法流图
(输入倒位序/输出顺位序)